

**Качественное исследование динамики  
одной математической модели**

**Гончаров А.Н., Гончаров А.А.**

*Донецкий национальный технический университет*

*Розглянута математична модель системи “ресурс – споживач”, яка описується системою двох звичайних нелінійних диференційних рівнянь. Проведено повне якісне дослідження системи - знайдені умови існування і стійкості точок рівноваги та граничного цикла, обчислені параметри цикла, досліджені особливі точки на нескінченності.*

При изучении раздела “Дифференциальные уравнения” особую важность приобретает подбор примеров для каждого из методов решения и исследования обыкновенных дифференциальных уравнений. Необходимо одновременное выполнение двух условий, - с одной стороны, пример должен быть достаточно прост, а, с другой, описывать все многообразие различных случаев. Нами предлагается использовать при изучении вопросов существования особых точек и устойчивости модель динамической системы “ресурс – потребитель”, встречаемую в экологии и экономике [ 1 ].

1. Описание модели “ресурс – потребитель”

Рассмотрим математическую модель динамической системы “ресурс – потребитель”, описываемую системой двух обыкновенных дифференциальных уравнений следующего вида

$$\begin{cases} \dot{x} = \left( \frac{p}{1 + \alpha p} - \beta \right) x = X(x, p), \\ \dot{p} = (1 - \mu p) p - \frac{p x}{1 + \alpha p} = P(x, p). \end{cases} \quad (1)$$

где переменная  $x$  характеризует величину (количество) потребителя, а переменная  $p$  – количество ресурса. Функция  $X(x, p) = (V(p) - \beta)x$  характеризует скорость изменения количества потребителя, а функция  $P(x, p) = E(p)p - V(p)x$  скорость изменения количества ресурса.

Функция  $E(p) = 1 - \mu p$  описывает прирост ресурса с учетом механизма саморегуляции (коэффициент  $\mu \neq 0$ ), а функция

$$V(p) = \frac{P}{1 + \alpha p},$$

называемая обычно функцией взаимодействия или трофической функцией, описывает уменьшение количества ресурса в результате действия потребителя и соответствующее увеличение количества потребителя.

## 2. Точки равновесия системы.

Система (1) имеет три точки равновесия  $O(0,0)$ ,  $A\left(\frac{1}{\mu}, 0\right)$ ,

$C\left(\frac{\beta}{\varphi}, \frac{1}{\varphi}\left(1 - \frac{\mu\beta}{\varphi}\right)\right)$ , где  $\varphi = 1 - \alpha\beta$ . Для того, чтобы точка  $C$  находилась в

первой четверти, необходимо выполнение неравенства  $1 > \alpha\beta$ , которое является естественным ограничением, так как в противном случае  $\beta > \frac{1}{\alpha} = \frac{P}{\alpha p} > \frac{P}{1 + \alpha p}$  и всегда  $\dot{x} < 0$ , а, следовательно, количество

потребителя будет стремиться к нулю из любых начальных состояний системы.

С помощью стандартных методов [ 2 ] нетрудно показать, что точка  $O(0,0)$  является седлом при всех значениях параметров, а точка  $A\left(\frac{1}{\mu}, 0\right)$

является при  $\mu < \frac{\varphi}{\beta}$  седлом, а при  $\mu \geq \frac{\varphi}{\beta}$  устойчивым узлом (Рис.1аб).

Особый интерес представляет третья, нетривиальная, точка равновесия  $C$ , для исследования которой линеаризуем систему (1). Получим

$$\left. \frac{\partial X}{\partial x} \right|_c = \frac{P}{1 + \alpha p} - \beta \Big|_c = 0,$$

$$\left. \frac{\partial X}{\partial p} \right|_c = \frac{x}{(1 + \alpha p)^2} \Big|_c = \varphi - \mu\beta,$$

$$\left. \frac{\partial P}{\partial x} \right|_c = -\frac{P}{1 + \alpha p} \Big|_c = -\beta,$$

$$\left. \frac{\partial P}{\partial p} \right|_c = 1 - 2\mu p - \frac{x}{(1 + \alpha p)^2} \Big|_c = \frac{\beta}{\mu}(\alpha\varphi + \mu\varphi - 2\mu)$$

и

$$\begin{cases} \dot{\bar{x}} = (\varphi - \mu\beta)\bar{p} + X_1(\bar{x}, \bar{p}), \\ \dot{\bar{p}} = -\beta\bar{x} + \frac{\beta}{\mu}(\alpha\varphi + \mu\varphi - 2\mu)\bar{p} + P_1(\bar{x}, \bar{p}), \end{cases}$$

где  $\bar{x} = x - \frac{1}{\varphi} \left( 1 - \frac{\mu\beta}{\varphi} \right)$ ,  $\bar{p} = p - \frac{\beta}{\varphi}$ .

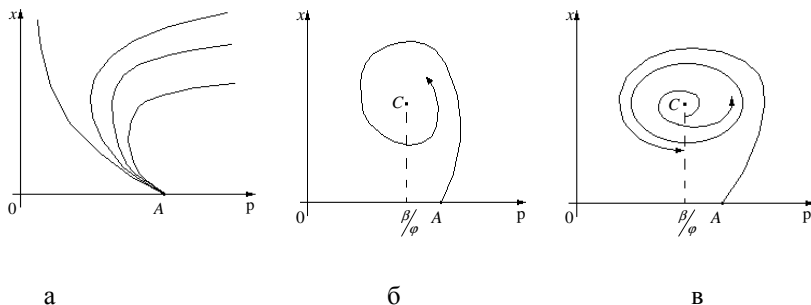


Рис. 1

Характеристическое уравнение будет иметь вид

$$\lambda^2 - \frac{\beta}{\mu} (\alpha\varphi + \mu\varphi - 2\mu)\lambda + \beta(\varphi - \mu\beta) = 0 \quad (2)$$

откуда следует, что точка  $C$  будет устойчивой [3] при  $\frac{\alpha\varphi}{1+\alpha\beta} < \mu < \frac{\varphi}{\beta}$  и неустой-

чивой при  $\mu < \frac{\alpha\varphi}{1+\alpha\beta} = \mu_0$ , а при  $\mu > \frac{\varphi}{\beta}$  точка равновесия  $C$  вы-ходит за

пределы первой четверти, совпадая при  $\mu = \frac{\varphi}{\beta}$  с точкой  $A$ .

Заметим, что при  $\mu = \mu_0$  корни уравнения (2) будут чисто мнимые, так как дискриминант уравнения отрицателен. Поэтому при значениях  $\mu$  близких к  $\mu_0$  дискриминант останется отрицательным и корни уравнения будут комплексными, что означает наличие колебаний вокруг точки равновесия  $C$  (Рис.1в).

Таким образом, при значениях  $\mu$  близких к  $\mu_0$  точка  $C$  является устойчивым фокусом при  $\mu > \mu_0$ , центром при  $\mu = \mu_0$  и неустойчивым фокусом при  $\mu < \mu_0$ .

### 3. Предельный цикл системы

Из теории бифуркаций [ 4 ] следует, что при  $\mu < \mu_0$  система (1) имеет предельный цикл, который при  $\mu \approx \mu_0$  близок к эллипсу

$$\frac{\varphi}{\beta(1+\alpha\beta)} \bar{p}^2 + \bar{x}^2 = \text{const}.$$

Для нахождения параметров предельного цикла разложим правые части системы (1) в ряд в окрестности точки  $C$  и, учитывая члены до третьей степени включительно, получим

$$\begin{cases} \dot{\bar{x}} = k_1 \bar{p} + k_2 \bar{p} \bar{x} - k_3 \bar{p}^2 - k_4 \bar{p}^2 \bar{x} + k_5 \bar{p}^3, \\ \dot{\bar{p}} = k_6 \bar{p} - \beta \bar{x} - k_2 \bar{p} \bar{x} + k_7 \bar{p}^2 + k_4 \bar{p}^2 \bar{x} - k_5 \bar{p}^3, \end{cases}$$

где  $k_1 = \varphi - \mu\beta$ ,  $k_2 = \frac{\varphi^2}{2}$ ,  $k_3 = \alpha\varphi(\varphi - \mu\beta)$ ,  $k_4 = \frac{1}{3}\alpha\varphi^3$ ,

$$k_5 = \alpha^2\varphi^2(\varphi - \mu\beta), k_6 = \frac{\beta}{\mu}(\alpha\varphi + \mu\varphi - 2\mu), k_7 = k_3 - \mu.$$

Делая замену переменных  $\bar{x} = R \cos \psi$ ,  $\bar{p} = \omega R \sin \psi$ ,

где  $\omega = \sqrt{\frac{\beta(1+\alpha\beta)}{\varphi}}$ , получим

$$\begin{cases} \dot{R} \cos \psi - R \sin \psi \dot{\psi} = k_1 \omega R \sin \psi + k_2 \omega R^2 \sin \psi \cos \psi - \\ - k_3 \omega^2 R^2 \sin^2 \psi - k_4 \omega^2 R^3 \sin^2 \psi \cos \psi + k_5 \omega^3 R^3 \sin^3 \psi, \\ \omega \dot{R} \sin \psi + \omega R \cos \psi \dot{\psi} = k_6 \omega R \sin \psi - \beta R \cos \psi + k_2 \omega R^2 \sin \psi \cos \psi + \\ + k_7 \omega^2 R^2 \sin^2 \psi + k_4 \omega^2 R^3 \sin^2 \psi \cos \psi - k_5 \omega^3 R^3 \sin^3 \psi. \end{cases}$$

Отсюда

$$\begin{aligned} \dot{R} = & \left( k_1 \omega - \frac{\beta}{\omega} \right) R \sin \psi \cos \psi + k_6 R \sin^2 \psi + k_2 \omega R^2 \sin \psi \cos^2 \psi - \\ & - (k_2 + k_3 \omega^2) R^2 \sin^2 \psi \cos \psi + k_7 \omega R^2 \sin^3 \psi - k_4 \omega^2 R^3 \sin^2 \psi \cos^2 \psi + \\ & + (k_5 \omega^2 + k_4) R \omega \sin^3 \psi \cos \psi - k_5 \omega^2 R^3 \sin^4 \psi = F(R, \psi) \end{aligned}$$

и, усредняя правую часть по фазе  $\psi$ , получим

$$\dot{R} = \frac{1}{2\pi} \int_0^{2\pi} F(R, \psi) d\psi = \frac{k_6}{2} R - \frac{k_4 \omega^2}{8} R^3 - \frac{3k_5 \omega^2}{8} R^3$$

или

$$\dot{R} = QR - SR^3.$$

Это уравнение имеет решение

$$R(t) = \sqrt{\frac{QR_0^2}{SR_0^2 + e^{-2Qt}(Q - SR_0^2)}},$$

где

$$Q = \frac{\beta}{2\mu}(\alpha\varphi + \mu\varphi - 2\mu),$$

$$S = \frac{\beta(1 + \alpha\beta)}{8\varphi} \left( \frac{1}{3}\alpha\varphi^3 + 3\alpha^2\varphi^2(\varphi - \mu\beta) \right).$$

Нетрудно видеть, что  $\lim_{t \rightarrow \infty} R(t) = \sqrt{\frac{Q}{S}}$ , причем предел существует только при  $Q > 0$  или  $\mu < \mu_0$ .

Таким образом, при  $0 < \mu < \frac{\varphi}{\beta}$  система существует длительное время, причем при  $\mu > \mu_0$  система из любого начального состояния переходит в точку равновесия  $C$ , а при  $\mu < \mu_0$  модель имеет устойчивый предельный цикл, который при  $\mu \approx \mu_0$  является эллипсом (Рис.1в)

$$\frac{\varphi}{\beta(1 + \alpha\beta)} \bar{p}^2 + \bar{x}^2 = \frac{Q}{S}.$$

#### 4. Анализ существования предельного цикла при $\mu = 0$

В модели (1) учитывается механизм саморегуляции количества ресурса, поэтому возникает вопрос об устойчивости системы при его отсутствии, то есть при  $\mu = 0$ . В этом случае, единственным механизмом регуляции количества потребителя и ресурса, входящих в исследуемую систему, остается функция их взаимоотношений  $V(p)$ .

Итак, пусть  $\mu = 0$ . Тогда система (1) примет вид

$$\begin{cases} \dot{x} = \left( \frac{p}{1 + \alpha p} - \beta \right) x = X(x, p), \\ \dot{p} = p - \frac{p x}{1 + \alpha p} = P(x, p). \end{cases} \quad (3)$$

Эта система имеет только две точки равновесия:  $O(0,0)$ , являющуюся седлом, и  $C\left(\frac{\beta}{\varphi}, \frac{1}{\varphi}\right)$ , которая является неустойчивой при всех допустимых значениях параметров, причем при  $\varphi > \frac{\alpha^2 \beta}{4}$  она является фокусом, а в противном случае узлом.

Поскольку точка равновесия  $C$  может быть неустойчивым фокусом, то весьма существенным является вопрос о существовании в данном случае предельного цикла. Критерий Бендиксона [ 5 ] отсутствия предельных циклов не дает ответ на этот вопрос.

Действительно, функция Бендиксона имеет вид

$$\frac{\partial X}{\partial x} + \frac{\partial P}{\partial p} = \frac{p}{1 + \alpha p} - \beta + 1 - \frac{\alpha x}{(1 + \alpha p)^2},$$

а приравняв полученное выражение нулю, получим уравнение кривой

$$x = \frac{1}{\alpha} (1 + \alpha p)((\varphi + \alpha)p + 1 - \beta),$$

на которой функция Бендиксона обращается в нуль.

Эта кривая – парабола (рис.2) с ветвями, направленными вверх, и, естественно, что она проходит и через первую четверть, а, следовательно, критерий Бендиксона в первой четверти не выполняется.

Воспользуемся критерием Дюлака [ 5 ]. В качестве однозначной и дифференцируемой в первой четверти (кроме осей) функции возьмем

следующую функцию  $B(x, p) = \frac{1}{p x}$ . Тогда

$$D(x, p) = \frac{\partial(XB)}{\partial x} + \frac{\partial(PB)}{\partial p} = \frac{\partial}{\partial x} \left( \frac{1}{1 + \alpha p} - \frac{\beta}{p} \right) + \frac{\partial}{\partial p} \left( \frac{1}{x} - \frac{1}{1 + \alpha p} \right) = \frac{\alpha}{(1 + \alpha p)^2}$$

Так как функция Дюлака не меняет знака в первой четверти, то система (3) не имеет предельного цикла, а, значит, модель является неустойчивой.

Это означает, что количество ресурса и потребителя в некоторый момент может быть как угодно велико, но так как при достаточно большом

количестве ресурса  $V(p) = \frac{p}{1 + \alpha p} \rightarrow \frac{1}{\alpha}$ , то система (3) примет вид

$$\begin{cases} \dot{x} = \frac{\varphi}{\alpha} x, \\ \dot{p} = p - \frac{x}{\alpha}. \end{cases}$$

Очевидно, что поведение данной системы полностью зависит от знака выражения  $p - \frac{x}{\alpha}$ . Действительно, если  $\alpha p < x$ , то  $\dot{p} < 0$  и траектория совершает облет вокруг точки  $C$ , если же  $\alpha p > x$ , то  $\dot{p} > 0$  и траектория уходит в бесконечность (рис.3), что принято называть «ускользанием» ресурса от потребителя [1].

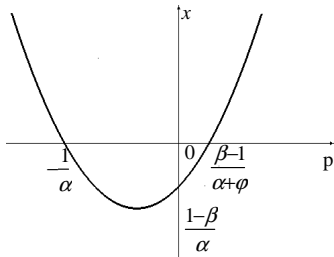


Рис.2

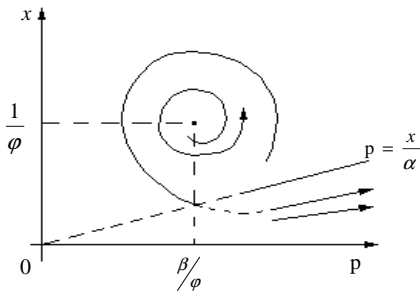


Рис.3

### 5. Динамика системы (3) на бесконечности

Таким образом, система (3) должна иметь особые точки в бесконечности. Для исследования их характера применим преобразование Пуанкаре  $p = \frac{1}{z}$ ,  $x = \frac{u}{z}$ .

Тогда система (3) преобразуется к виду

Тогда система (3) преобразуется к виду

$$\begin{cases} \dot{u} = \frac{u^2 + u}{z + \alpha} - (1 + \beta)u = V(u, z), \\ \dot{z} = \left( \frac{u}{z + \alpha} - 1 \right)z = Z(u, z). \end{cases} \quad (4)$$

Система (4) будет иметь две интересующие нас точки равновесия  $M(0,0)$  и  $N(0, \alpha - \varphi)$ . Третья, нетривиальная точка равновесия  $\left( \frac{\varphi}{\beta}, \frac{1}{\beta} \right)$  совпадает с точкой равновесия  $C$  системы (3) и нами уже исследована.

Из системы (4) имеем

$$\frac{\partial V}{\partial u} = \frac{2u + 1}{z + \alpha} - 1 - \beta, \quad \frac{\partial V}{\partial z} = -\frac{u^2 + u}{(z + \alpha)^2},$$

$$\frac{\partial Z}{\partial u} = \frac{z}{z + \alpha}, \quad \frac{\partial Z}{\partial z} = \frac{\alpha u}{(z + \alpha)^2} - 1.$$

Тогда, линеаризуя систему (4) в точке равновесия  $M$  получим

$$\begin{cases} \dot{u} = \left( \frac{\varphi}{\alpha} - 1 \right) u, \\ \dot{z} = -z, \end{cases}$$

откуда следует, что точка  $M$  является седлом при  $\varphi > \alpha$  и устойчивым узлом при  $\varphi < \alpha$ .

А линеаризуя систему (4) в окрестности точки равновесия  $N$ , получим

$$\begin{cases} \dot{\bar{u}} = \left( 1 - \frac{\varphi}{\alpha} \right) \bar{u} - \left( \frac{\varphi}{\alpha} - 1 \right) (1 + \beta) \bar{z}, \\ \dot{\bar{z}} = -\frac{\varphi}{\alpha} \bar{z}, \end{cases}$$

где  $\bar{u} = u - \alpha + \varphi$ ,  $\bar{z} = z$ .

Характеристическое уравнение данной системы имеет корни

$$\lambda_1 = -\frac{\varphi}{\alpha}, \quad \lambda_2 = 1 - \frac{\varphi}{\alpha},$$

поэтому точка равновесия  $N$  является седлом при  $\varphi < \alpha$  и устойчивым узлом в противном случае, выходя при этом за пределы рассматриваемой области – первой четверти.

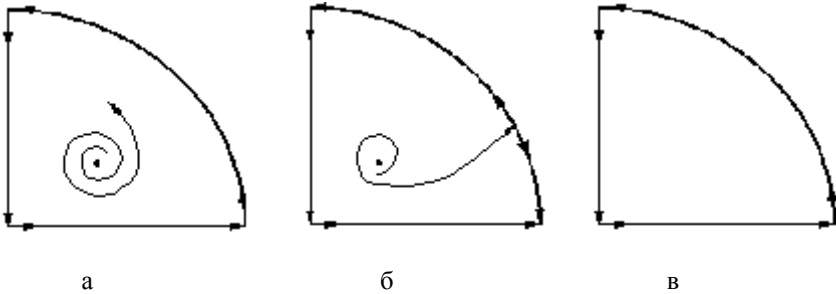


Рис.4

Таким образом, завершено полное исследование модели (4), фа-зовые портреты которой при  $0 < \alpha < \frac{1}{1 + \beta}$ ;  $\frac{1}{1 + \beta} < \alpha < \frac{1}{\beta}$ ;  $\alpha > \frac{1}{\beta}$  изображены на рисунках 4а, 4б, 4в соответственно.

*Литература*



1. Свирижев Ю.М., Логофет Д.О. Устойчивость биологических сообществ. – М.: Наука, 1978.- 352 с.
2. Баутин Н.Н., Леонтович Е.А. Методы и приемы качественного исследования динамических систем на плоскости – М.: Наука, 1976.- 496 с.
3. Гончаров А.Н., Елизаров Е.Я. К устойчивости биосистем типа хищник-жертва. – *Studia biophysica*, Berlin, 1974, v.46, p.147-152.
4. Андронов А.А., Леонтович Е.А., Гордон И.И., Майер А.Г. Теория бифуркаций динамических систем на плоскости. – М.: Наука, 1967.- 487 с.
5. Рейссиг Р., Сансоне Г., Конти Р. Качественная теория линейных дифференциальных уравнений. – М.: Наука, 1974.- 318 с.